УСЛОВИЯ ОБРАЗОВАНИЯ СВЯЗЕЙ МЕТАЛЛ-МЕТАЛЛ И ИХ ВЛИЯНИЕ НА ХАРАКТЕРИСТИКИ ПИРОТЕХНИЧЕСКИХ СОСТАВОВ

Королев Д. В., Суворов К. А. Санкт-Петербургский государственный технологический институт (технический университет)

В заряде металлсодержащих гетерогенных композиций (МГК) вероятность образования контактов металлических частиц между собой возрастает с увеличением концентрации металла и с ростом степени уплотнения. Свыше определенного объемного содержания (порога перколяции) металлические частицы образуют непрерывные цепочки (перколяционные кластеры), пронизывающие пиротехнический заряд насквозь.

Появление в структуре заряда металлических перколяционных кластеров должно приводить к скачкообразному изменению многих характеристик: электропроводности, теплопроводности, механической прочности. Изменение этих параметров не может не сказаться на изменении скорости горения /1, 2/.

Имеющиеся в литературе сведения о пороге перколяции, весьма противоречивы /1/. В частности, подлежит сомнению утверждение, что порог перколяции равен 16 объемным процентам горючего /3, 4/. Необходима экспериментальная проверка тезиса о том, что нижний предел горючести МГК должен соответствовать порогу перколяции /4/. Не однозначно влияние относительных размеров частиц металла и окислителя на вероятность образования перколяционных кластеров. Требует проверки правомочность использования методики определения условий образования кластеров по визуальному изучению плоских шлифов зарядов. Не совсем ясны расхождения результатов численного моделирования на плоскости и в объеме.

Работа посвящена определению порога перколяции в МГК и влиянию на него различных рецептурно-технологических факторов.

В качестве объектов исследования были выбраны смеси титана с нитратом натрия. Порошок титана марки ПТ-3 рассеивался на фракции от 180 до 230 мкм (мелкий титан) и от 500 до 900 мкм (крупный титан). Из порошка нитрата натрия были выделены фракции от 150 до 350 мкм (мелкий нитрат натрия) и от 350 до 500 мкм (крупный нитрат натрия). Испытаниям подвергались цилиндрические образцы диаметром 23 мм, массой 10 ± 0.5 г, полученные методом глухого прессования при давлении 200 МПа.

Образование кластеров в структуре зарядов фиксировались при анализе поперечных шлифов под микроскопом /5/. Дополнительно порог перколяции определялся по скачкообразному изменению омического сопротивления пиротехнического заряда. Параллельно осуществлялось численное моделирование структуры зарядов титансодержащих композиций на плоскости и в объеме /6/.

Анализ полученных результатов позволяет утверждать, что металлические перколяционные кластеры не образуются в зарядах МГК на основе титана, содержащих по объему менее 6% металла. С другой стороны, в уплот

ненных зарядах металлические частицы наверняка образуют перколяционные кластеры при объемном содержании титана свыше 52%. Об этом же свидетельствуют результаты моделирования структуры зарядов композиций титана с нитратами щелочных и щелочноземельных металлов, перхлоратом калия и перекисью бария.

Порог перколяции не является константой для конкретной МГК. На его значение существенное влияние оказывает соотношение размеров исходных частиц окислителя и горючего (рис. 1).

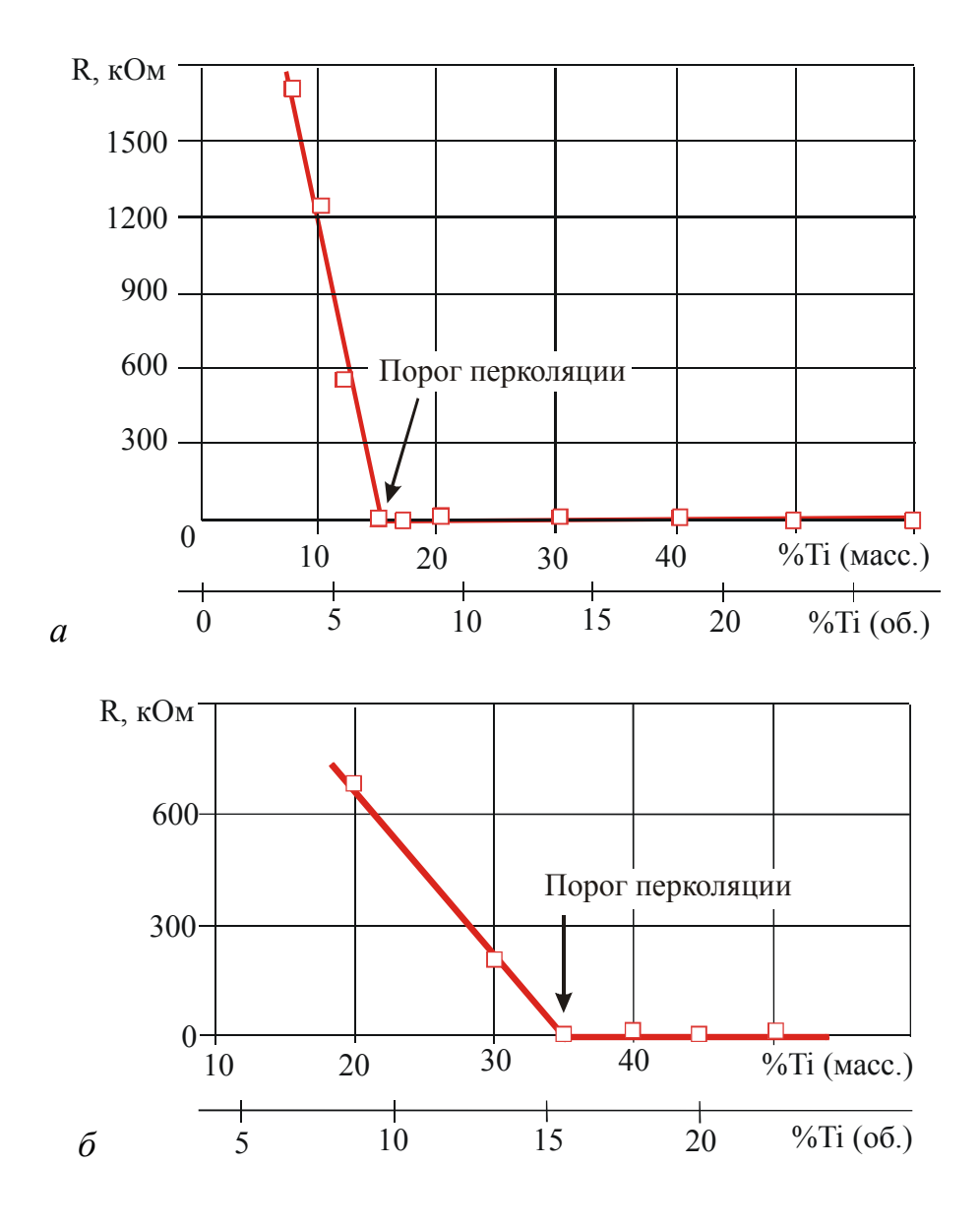


Рис. 1. Определение порога перколяции по изменению омического сопротивления зарядов МГК: a — мелкий титан + крупный нитрат натрия; δ — крупный титан + мелкий нитрат натрия

Микроскопический метод анализа шлифов дает завышенные численные значения порога перколяции (табл. 1).

Таблица 1 Значение порога перколяции (мас. %) в смесях титана с нитратом натрия

Композиция	Метод определения	
	Микроскоп	Омическое сопротивление
Мелкий титан + крупный нитрат натрия	15—20	12—15
Крупный титан + мелкий нитрат натрия	35—40	30—35

В окрестностях значений порога перколяции (при массовом содержании титана 15%) на появление перколяционных кластеров существенное влияние оказывает давление прессования, приводящее к увеличению плотности, и, следовательно, увеличивающее объемную концентрацию металлических частиц за счет уменьшения пористости (табл. 2).

Таблица 2 Влияние давления прессования на омическое сопротивление заряда «мелкий титан + крупный нитрат натрия»

Давление прессования, МПа	75	100	200
Сопротивление заряда, Ом	200000	92	26

Полученные данные свидетельствуют о том, что результаты численного моделирования на плоскости нельзя переносить на моделирование в объеме. Связано это, в частности, с тем, что рост кластерных цепочек в вертикальном направлении может смещаться относительно вертикальной оси O_1 - O_2 - O_3 (рис. 2) и происходить в любом другом направлении, например, по цепочке O_1 - O_4 - O_3 . По наличию кластеров в сечениях A и Б (кластеры aa и bb) или их отсутствию (сечение B) нельзя утверждать об образовании перколяционного кластера в продольном сечении.

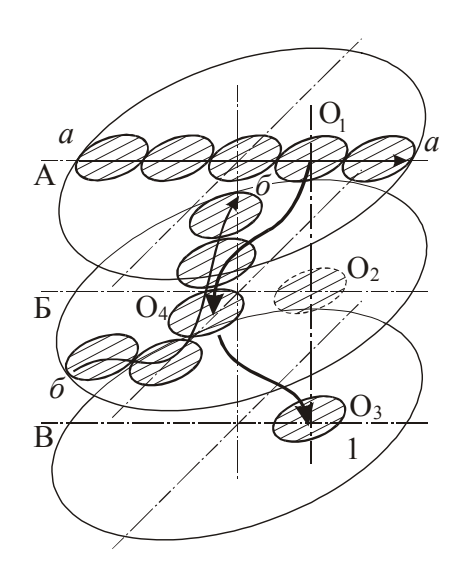


Рис. 2. Образование перколяционных кластеров в заряде МГК:

А, Б, В — поперечные сечения («шлифы»); aa — кластер в поперечном сечении А; $\delta\delta$ — кластер в поперечном сечении Б

Следовательно, по результатам микроскопического анализа поперечных шлифов нельзя достоверно судить об образовании в структуре заряда перколяционных кластеров.

Экспериментальная оценка нижнего предела горючести смесей крупного титана с мелким нитратом натрия показала, что он примерно соответствует порогу перколяции. Однако полученных экспериментальных данных не достаточно, чтобы на их основании делать обобщающие выводы.

Литература

- 1. Ключарев В. В. Температура самовоспламенения по Маляру и Лешателье // XX Всероссийский симпозиум молодых ученых по химической кинетике: Программа и тезисы, 11—15 марта 2002 года, пансионат «Дружба», Московская область.— М., 2002. —С. 83.
- 2. Дудырев А. С., Климентьева Ю. И., Королев Д. В., Суворов К. А. Зависимость скорости горения гетерогенных конденсированных систем от поверхности контакта частиц//Сборник трудов международной научной конференции «Математические методы в технике и технологиях ММТТ—2000». СПб: Изд-во СПбГТИ(ТУ), 2000. С. 123—124.
- 3. Фролов Ю. В., Пивкина А. Н., Никольский Б. Е. Влияние пространственной структуры реакционной среды на тепловыделение при образовании алюминидов никеля и циркония //ФГВ.— 1988.— Т. 24, № 5.— С. 95—100.
- 4. Фролов Ю. В., Никольский Б. Е. Пространственная структура и концентрационные пределы горения малогазовых систем // Доклады АН СССР.— 1989.— Т. 305, № 2. С. 386—390.
- 5. Свидетельство об официальной регистрации программы для ЭВМ № 990213 от 23 апреля 1999 года «Программа автоматизации микроскопического анализа Little 2») // Д. В. Королев, А. С. Дудырев, К. А. Суворов. Зарегистрировано в реестре программ для ЭВМ, Москва, 23 апреля 1999.
- 6. Коршунова Н. А., Пономарев Д. В., Суворов К. А. Моделирование структуры порошкообразных композиций // Политехнический симпозиум «Молодые ученые промышленности северо-западного региона»: Материалы конференций «Компьютерные технологии, коммуникации, численные методы и математическое моделирование», 30 ноября 2001. СПб.: СПбГТУ, 2001. С. 19.